

• 系统性疾病 •

## 艾滋病相关淋巴瘤的影像学表现

深圳市第三人民医院 (广东 深圳 518112)

罗益贤 陆普选 乐晓华 王辉

**【摘要】**目的 探讨艾滋病相关淋巴瘤的特征性影像学表现。方法 回顾分析7例经活检病理确诊的艾滋病合并淋巴瘤患者的X线、CT及MRI资料，并复习相关文献，从而总结艾滋病相关淋巴瘤的影像学表现特点。结果 2例主要表现为颈部淋巴结肿大，2例为腋窝淋巴结肿大，1例为咽扁桃体肿大，1例为回肠末段巨大肿块，1例为多发骨质破坏。其中6例患者出现淋巴结肿大，6例出现肺部病变，3例肝脏内出现低密度影，2例脑实质内异常信号，1例硬脑膜增厚并头皮肿胀，1例胰腺肿大、主胰管扩张；1例腰椎多发骨质破坏并椎体压缩；1例脊髓膨大并信号不均；1例胸部多发骨质破坏。结论 艾滋病相关淋巴瘤广泛累及淋巴结及结外淋巴组织，表现为巨大淋巴结肿大同时合并其他组织器官受累，影像学表现有一定的特点，但缺乏特异性，诊断需结合临床。

**【关键词】**获得性免疫缺陷综合征；淋巴瘤；体层摄影术；X线计算机；磁共振成像

**【中图分类号】**R73；R5

**【文献标识码】**A

**DOI:** 10.3969/j.issn.1009-3257.2015.02.017

## Imaging Appearance of Acquired Immunodeficiency Syndrome(AIDS) Related Lymphoma

LUO Yi-xian, LU Pu-xuan, LE Xiao-hua, WANG Hui. The Third People's Hospital of Shenzhen, 518112, China

**[Abstract]** **Objective** To investigate the specific imaging features of AIDS-related lymphoma. **Methods** X-ray, CT and MRI findings of 7 cases with Pathological biopsy proved AIDS-related lymphoma were retrospectively analyzed. And the related literature was reviewed to summarize the imaging features of AIDS-related lymphoma. **Results** Among the 7 cases, the main manifestations were enlargement of cervical lymph nodes (n=2), axillary lymph nodes(n=2), tonsil enlargement (n=1), huge mass in terminal ileum (n=1), and multiple bone destruction (n=1). All of them, enlargement of lymph nodes were found in 6 cases, chest diseases were found in 6 cases, low density masses of liver were found in 3 cases, abnormal signals of brain were found in 2 cases ,dura thickening and scalp swelling were found in 1 case, pancreatic duct dilatation and pancreatic enlargement were found in 1 case, multiple vertebral body destruction and compression were found in 1 case, uneven signal was found in the swelling spinal cord in 1 case, multiple chest bone destruction were found in 1 case. **Conclusion** The imaging features of AIDS-related lymphoma which showed enlargement lymph nodes associated with other organ involvement is lack of specificity, and still need to be combined with clinical symptoms when we diagnosed.

**[Key words]** AIDS; Lymphoma; Tomography; X-ray Computed; MRI

艾滋病(acquired immunodeficiency syndrome, AIDS)是由于人免疫缺陷病毒(human immunodeficiency virus, HIV)感染而导致的致命性慢性传染病。该病毒主要侵犯人体免疫系统，破坏辅助性T淋巴细胞(CD4+T淋巴细胞)，使机体免疫功能受损，最后并发各种严重的机会感染和恶性肿瘤。在艾滋病感染患者中，淋巴瘤发病率约5%~20%<sup>[1]</sup>，仅次于卡波西肉瘤。本文回顾性分析7例艾滋病相关淋巴瘤(acquired immune deficiency syndrome-related

lymphoma, ARL)的影像学表现，同时复习相关文献，旨在增加对本病的认识，提高诊断水平。

### 1 材料与方法

**1.1 临床资料** 搜集我院2009年1月~2014年7月期间收治的7例艾滋病合并淋巴瘤病例，所有患者均为男性，年龄21~61岁。临床表现：发热、咳嗽3例；颈部肿块2例，腋窝肿块2例；腹痛、黑便1

例；皮疹1例；消瘦1例。外周血CD4+T淋巴细胞计数 $(21\sim407)\times10^6/L$ （平均值约为 $141\times10^6/L$ ）。

7例均经病理证实为非何杰金氏淋巴瘤（Non Hodgkin's lymphoma, NHL），其中Burkitt淋巴瘤（Burkitt's lymphoma, BL）4例；弥漫性大B细胞淋巴瘤2例；另一例在外院手术具体细胞分型不详。7例中2例进行颈部淋巴结切除活检，1例腋窝淋巴结切除活检，1例腋窝淋巴结穿刺活检，1例咽扁桃体切除活检，1例肠道肿物切除活检，1例胸壁肿物穿刺活检。

**1.2 检查方法** 2例进行了胸片检查，1例全消化道造影，7例胸部CT扫描，2例颈部CT增强扫描，2例

**2.2 CT及MRI表现** 7例患者CT及MRI影像学表现见图1-10及见表1

### 3 讨 论

艾滋病相关淋巴瘤（ARL）指发生在HIV感染基础上的淋巴瘤，本质为免疫细胞的恶变。国内外学者研究发现，AIDS患者发生淋巴瘤的概率是非AIDS人群的60倍左右<sup>[2-3]</sup>，且大多数病例均发生在艾滋病期，特别是当CD4+T淋巴细胞计数 $<200\times10^6/L$ 时<sup>[4]</sup>。ARL病理类型以NHL的B型细胞淋巴瘤为主，其中主要是高度恶性

表1 7例患者CT及MRI影像学表现

编号	检查方法	淋巴结表现	淋巴结外病变表现
1	颈部、胸部及眼眶CT	1.右下颌下淋巴结肿大，约 $32mm\times19mm$ 2.纵隔多发淋巴结肿大	1.胸膜多发结节，9天后明显增大 2.肝脏局部密度减低 3.左侧眼球外直肌局限肿胀，右侧球后见软组织肿块包绕视神经
2	颅脑、胸部CT	双侧上颈部多发增大淋巴结，大小均约 $10mm$	左侧咽扁桃体明显肿胀，边界不清
3	胸部CT，中下腹MRI	腹膜后及肠系膜根部多发增大淋巴结	1.回肠末段管壁普遍增厚，管腔不窄；5月后复查，肠管继续增厚，近端小肠扩张 2.前腹壁、膀胱及乙状结肠受累，边欠清 3.胸部示双肺尖多发肺大泡
4	胸部CT	左腋窝巨大淋巴结，大小约 $134mm\times124mm$ ，内见液化坏死	双肺及纵隔未见异常
5	胸部CT	右腋窝淋巴结增大，约 $32mm\times21mm$	双肺多发散在结节影
6	胸部、上腹部及腰椎CT，颅脑及腰椎MRI	左颈部淋巴结增大，大小约 $70mm\times50mm$	1.胰腺增大，密度不均匀减低，边界欠清，主胰管扩张 2.双侧额顶叶见斑片状密度减低区（MRI为长T1长T2信号） 3.第2、4、5椎体压缩改变，椎间隙不窄 4.脊髓自胸6至圆锥膨大，呈长T1长T2信号
7	胸部CT、头颅CT及MRI	无	1.左侧第5肋骨质破坏并周围软组织肿块，胸骨柄、右侧肩胛骨骨质破坏 2.左肺上叶斑片及条索影 3.左颞、顶部硬脑膜梭形增厚并强化，相邻颅骨破坏，左颞顶部硬膜下积液 4.肝右叶VII段见低密度区，可见强化

上腹部CT增强扫描，1例下腹部CT增强扫描；3例颅脑MRI扫描，2例颈椎MRI扫描，1例下腹部MRI扫描，1例腰椎MRI扫描。

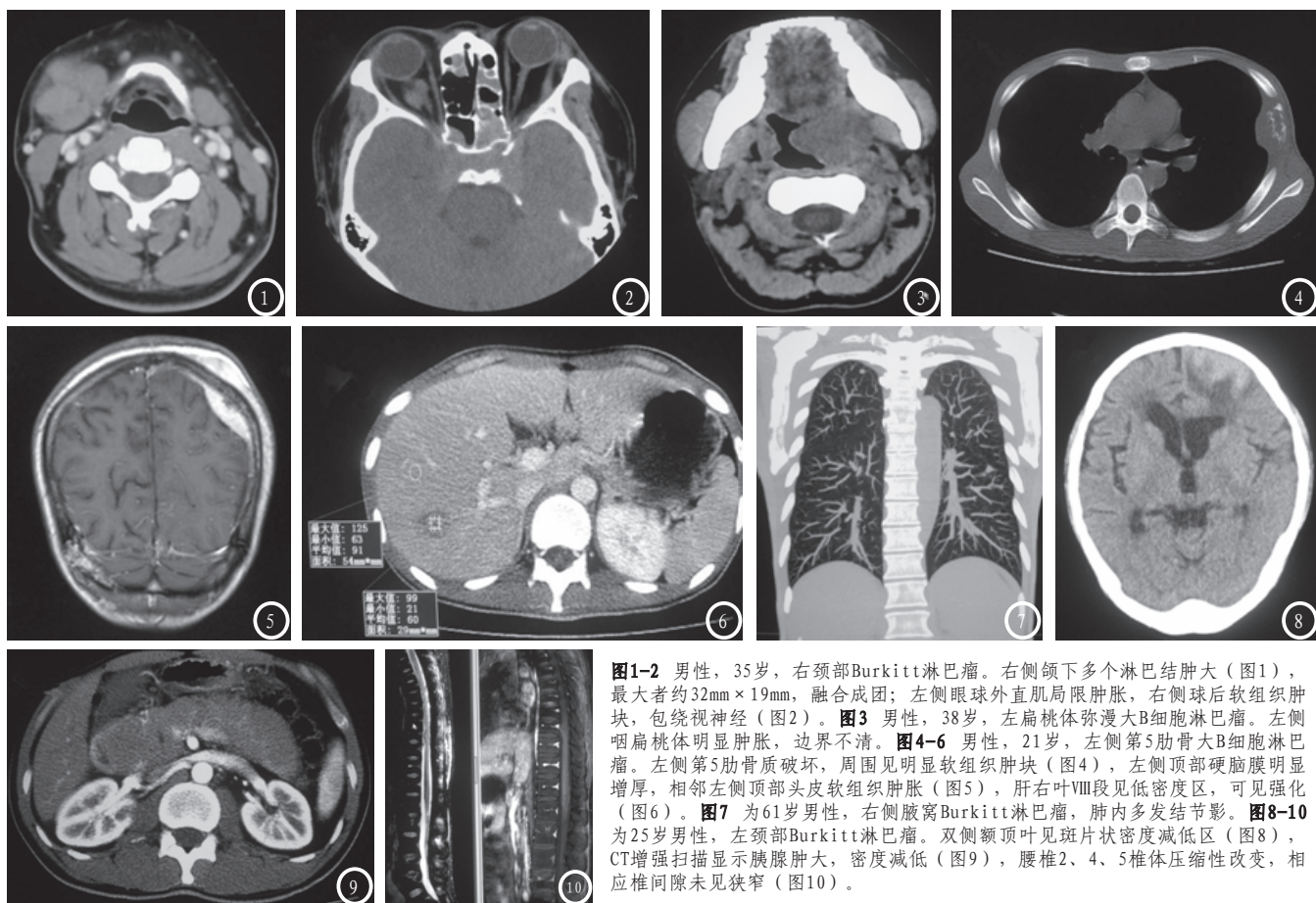
## 2 结 果

**2.1 胸片及胃肠道钡餐表现** 病例1和6行胸片检查均未见异常。病例3行全消化道钡餐造影见右下腹髂窝处小肠受压，但肠腔边界光滑，肠壁柔软，结合病史，考虑腹腔占位（肿大淋巴结）压迫所致。

的伯基特淋巴瘤，其次是中度恶性的弥漫大B细胞淋巴瘤。本组7例患者全部是NHL。

ARL影像学表现特点：

1. 淋巴结肿大。其可为首发表现，也可为并发现象。一般肿大淋巴结较大，直径常超过 $30mm$ ，并可见中央坏死<sup>[5]</sup>，这有别于AIDS患者单纯性淋巴结肿大，单纯性肿大淋巴结常较小，直径小于 $20mm$ ，坏死少见。本组7例中有6例有淋巴结肿大，4例首先表现为浅表淋巴结肿大，最大直径达 $134mm$ 。
2. 淋巴结外组织淋巴瘤发生率高。这与其NHL病



**图1-2** 男性，35岁，右颈部Burkitt淋巴瘤。右侧颌下多个淋巴结肿大（图1），最大者约32mm×19mm，融合成团；左侧眼球外直肌局限肿胀，右侧球后软组织肿块，包绕视神经（图2）。图3 男性，38岁，左扁桃体弥漫大B细胞淋巴瘤。左侧咽扁桃体明显肿胀，边界不清。图4-6 男性，21岁，左侧第5肋骨大B细胞淋巴瘤。左侧第5肋骨质破坏，周围见明显软组织肿块（图4），左侧顶部硬脑膜明显增厚，相邻左侧顶部头皮软组织肿胀（图5），肝右叶VII段见低密度区，可见强化（图6）。图7 为61岁男性，右侧腋窝Burkitt淋巴瘤，肺内多发结节影。图8-10 为25岁男性，左颈部Burkitt淋巴瘤。双侧额顶叶见斑片状密度减低区（图8），CT增强扫描显示胰腺肿大，密度减低（图9），腰椎2、4、5椎体压缩性改变，相应椎间隙未见狭窄（图10）。

理类型有关，因为已知非何杰金氏淋巴瘤较霍奇金病更容易累及结外淋巴组织<sup>[6]</sup>。淋巴结外淋巴瘤最常见于胃肠道(特别是回肠)，其次是肝脏、纵隔、神经系统和骨骼。本组7例患者，考虑结外淋巴瘤侵犯有6例，累及部位一共15处。但是否所有结外病变都是淋巴瘤侵犯还有待于进一步证实。

3. 淋巴结外淋巴瘤侵犯消化道脏器的影像特点：主要表现为肠壁明显增厚，范围广而且弥漫，但管腔相对狭窄不明显，病变继续发展可见肠腔狭窄<sup>[7]</sup>。ARL累及肝脏者，多表现为肝脏内局灶性病变，一般发生于门脉分支附近或者门脉周围，病变密度或信号均匀，较少发生坏死，CT表现为低或略低密度；MRI表现为T1WI等低信号，T2WI信号多种多样，增强扫描，可见轻度均匀强化，延迟强化为主。有作者报道肿瘤内部可见肝脏正常血管走形，即所谓的“血管漂浮征”<sup>[8-9]</sup>。

4. 淋巴瘤纵隔及胸膜侵犯的影像学特点，主要表现为胸膜下出现快速增长的结节或肿块，或纵隔淋巴结短期明显增多、增大及合并胸腔积液。

5. ARL累及脑部者，广泛累及两侧大脑半球白质

区、胼胝体或基底节区。CT表现为脑室周围或者深部白质内多发结节或不规则肿块影，一般呈等或低密度，病灶边界欠清，周围可见水肿；增强扫描一般为不均匀或者环状强化。MRI表现为长T1长或者稍长T2信号，周围伴水肿；增强扫描呈不均匀结节状或环状强化，发生于脑室周围的肿瘤由于室管膜受侵犯而见室管膜强化。HIV阴性者脑部淋巴瘤多表现单发，一般表现为实质性病变，CT为等或者稍高密度，增强一般呈均匀强化<sup>[10-11]</sup>。

6. ARL累及骨骼者，主要为股骨、骨盆、脊柱或颅骨溶骨性骨质破坏及明显软组织肿块，软组织病变范围明显大于骨质破坏范围，骨膜反应罕见。MRI更容易发现骨质破坏早期病变，骨质破坏及软组织病变一般呈长T1长T2信号。增强扫描病变强化程度不等，一般骨内病变与周围软组织病变呈同等程度强化<sup>[12]</sup>。

ARL是艾滋病患者常见的并发肿瘤，多发生于艾滋病晚期，也是艾滋病患者常见的死亡原因。ARL影像学表现具有广泛累及淋巴结及结外淋巴组织或器官，且容易出现多脏器受累的特点。当然最后确诊艾滋病合并淋巴瘤需要病理活检。

## 参考文献

- [1] 陆普选,周伯平.新发传染病临床影像诊断[M].北京:人民卫生出版社,2013 215-296.
- [2] MOUNIER N,SPINA M,GABARRE J,et al.AIDS-related non-Hodgkin lymphoma:final analysis of 485 patients treated with risk-adapted intensive chemotherapy[J].Blood,2006,107(10):3832-3840.
- [3] WEISS R,MITROU P,ARASTEH K,et al. Acquired immunodeficiency syndrome-related lymphoma: simultaneous treatment with combined cyclophosphamide,doxorubicin,vincristine, and prednisone chemotherapy and highly active antiretroviral therapy is safe and improves survival—results of the German Multicenter Trial[J].Cancer,2006,106(7):1560-1568.
- [4] 刘保池,王盟,冯艳玲,等.免疫缺陷与艾滋病相关淋巴瘤的临床分析[J].上海医学, 2011,34(11):818-821.
- [5] 叶任高.内科学[M].北京:人民卫生出版社,2001 640-648.
- [6] 汪松峰,刘晋新,唐小平,等.艾滋病相关淋巴瘤的CT表现[J].临床放射学杂志, 2010,29(3):381-383.
- [7] 李宏军,张玉忠.艾滋病合并肠管淋巴瘤X线、CT表现与病理[J].放射学实践, 2009,24(9):964-966.
- [8] 陆蓉,周建军,李敏,等.肝脏淋巴瘤: 动态增强CT的诊断价值[J].临床放射学杂志,2009,28(2):218-220.
- [9] Cisse R,Palussiere J,Valentin F,et al Non-Hodgkin lymphoma as a cause of intra hepatic periportal low attenuation at computed tomography .J Radiol,2004,85:1729.
- [10] 史大鹏,闫庆栎,陈世华,等.AIDS脑部病变影像学表现分析[J].实用放射学杂志,2006,22(2):143-146.
- [11] 喻奇志.AIDS相关脑内淋巴瘤的影像诊断及鉴别[J].中国现代医学杂志,2012,22(24):56-59.
- [12] 郑红伟,胡秀荣,祁佩红,等.骨原发性淋巴瘤的CT、MRI表现[J].医学影像学杂志,2014,24(1):111-115.

【收稿日期】 2015-03-19

(上接第 57 页)

## 参考文献

- [1] 孙宁玲,范芳芳,赵连友.高同型半胱氨酸—高血压综合干预的新重点[J].中国医学前沿杂志,2011,3(3) : 18-22.
- [2] Liu J, Sun K, Bai Y, Zhang W, Wang X, Wang Y, Wang H, Chen J, Song X, Xin Y, Liu Z, Hui R.Association of three-gene interaction among MTHFR, ALOX5AP and NOTCH3 with thrombotic stroke: a multicenter case-control study. Hum Genet. 2009;125(5-6):649-56.
- [3] Shi C, Kang X, Wang Y, Zhou Y。The coagulation factor V Leiden, MTHFR C677T variant and eNOS 4ab polymorphism in young Chinese population with ischemic stroke. Clin Chim Acta. 2008;396(1-2):7-9.
- [4] 安中平,张东威,巫嘉陵.2103例脑卒中登记患者发病危险因素分析.中华老年心血管病杂志, 2008, 4(10): 283-285.
- [5] Zhu W,Liu X,Xu G,et al.The frequency of symptoms in transient ischaemic attack:analysis of Nanjing Stroke Register Program data.J Int Med Res,2007,35:155-158.
- [6] 刘燕.出院计划模式在青年脑卒中患者连续护理中的应用研究.天津医科大学2012硕士论文.
- [7] Pender NJ. Health Promotion in Nursing Practice[M]. 3rd ed. Connecticut:Appleton and Lange, 1996: 185.
- [8] Wang X, Qin X, Demirtas H, et al. Efficacy of folic acid supplementation in stroke prevention: a meta-analysis. Lancet. Jun 2 2007;369(9576):1876-1882.
- [9] Schnyder G, Roffi M, Flammer Y, Pin R, Hess OM. Effect of homocysteine-lowering therapy with folic acid, vitamin B12, and vitamin B6 on clinical outcome after percutaneous coronary intervention: the Swiss Heart study: a randomized controlled trial. Jama. Aug 28 2002;288(8):973-979.
- [10] 黄建始. 美国的健康管理: 源自无法遏制的医疗费用增长[J]. 中华医学杂志, 2006, 86(15): 1011-1013.
- [11] Seenan P,Long M,Langhorne P.Stroke units in their natural habitat.Systematic review of observational studies. Stroke,2007,38:1886-1892.
- [12] 梁星汉. 健康管理对社区代谢综合征患者代谢的影响[J]. 中国医学创新, 2013, 10(1): 132-133.

【收稿日期】 2015-04-02